



ΕΛΛΗΝΙΚΗ ΔΗΜΟΚΡΑΤΙΑ  
Εθνικόν και Καποδιστριακόν  
Πανεπιστήμιον Αδηνών

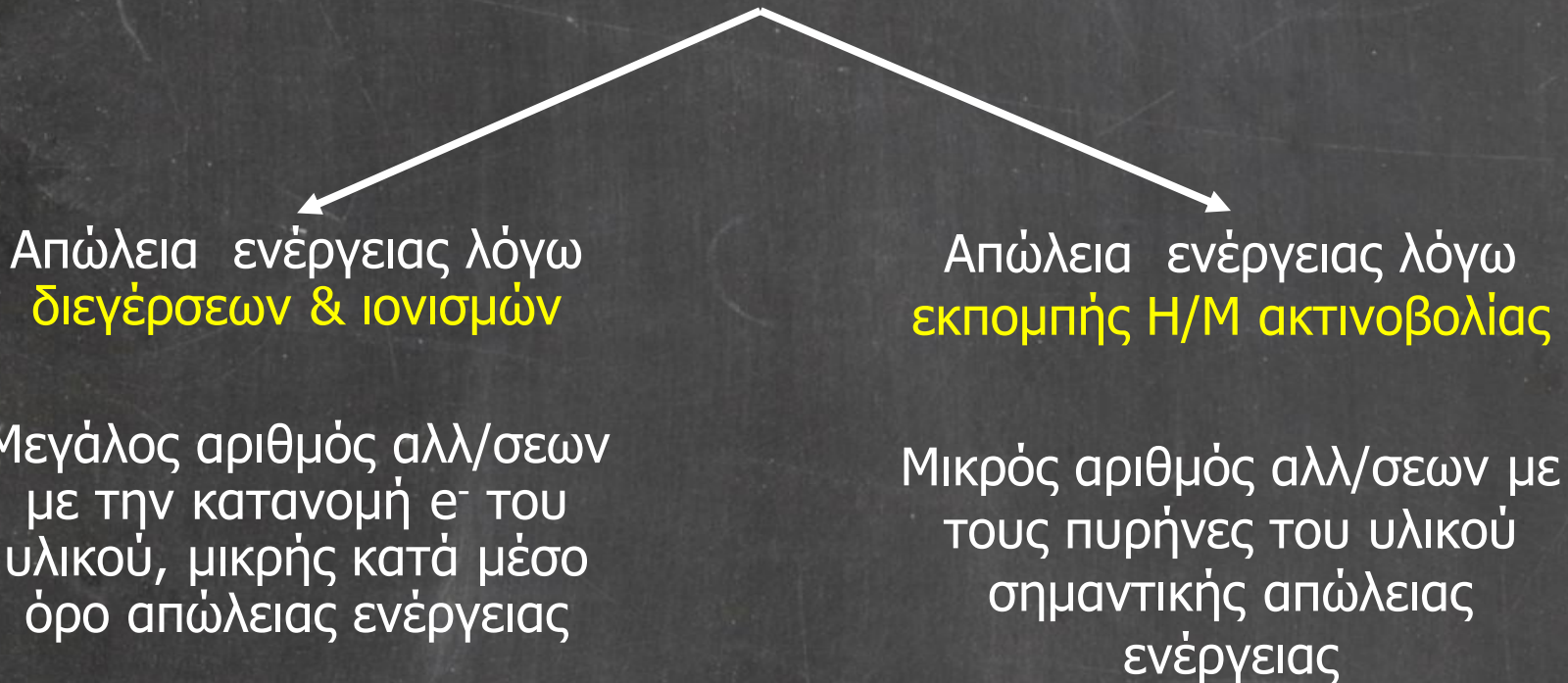
## ΙΑΤΡΙΚΗ ΦΥΣΙΚΗ

**Π. Παπαγιάννης**  
Av. Καθηγητής,  
Εργαστήριο Ιατρικής Φυσικής,  
Ιατρική Σχολή Αθηνών  
Κτίριο 5, Γραφείο 21

📞 210 746 2442  
✉️ [r.papagi@med.uoa.gr](mailto:r.papagi@med.uoa.gr)  
🌐 [https://eclass.uoa.gr/  
MED1114](https://eclass.uoa.gr/MED1114)

**Αλληλεπίδραση Ιοντίζουσας Ακτινοβολίας  
φορτισμένων σωματιδίων - Ύλης**

# Αλ/δραση Ιοντίζουσας Ακτινοβολίας φορτισμένων σωματιδίων-Ύλης



# Απώλεια ενέργειας φορτισμένων σωματιδίων λόγω διεγέρσεων & ιονισμών

$$\frac{dE}{dx} = 4\pi r_0^2 \rho \frac{ZN_A}{AB} \frac{z^2 mc^2}{\beta^2} \left[ \ln \frac{2mc^2 \beta^2}{I(1-\beta^2)} - \dots \right]$$

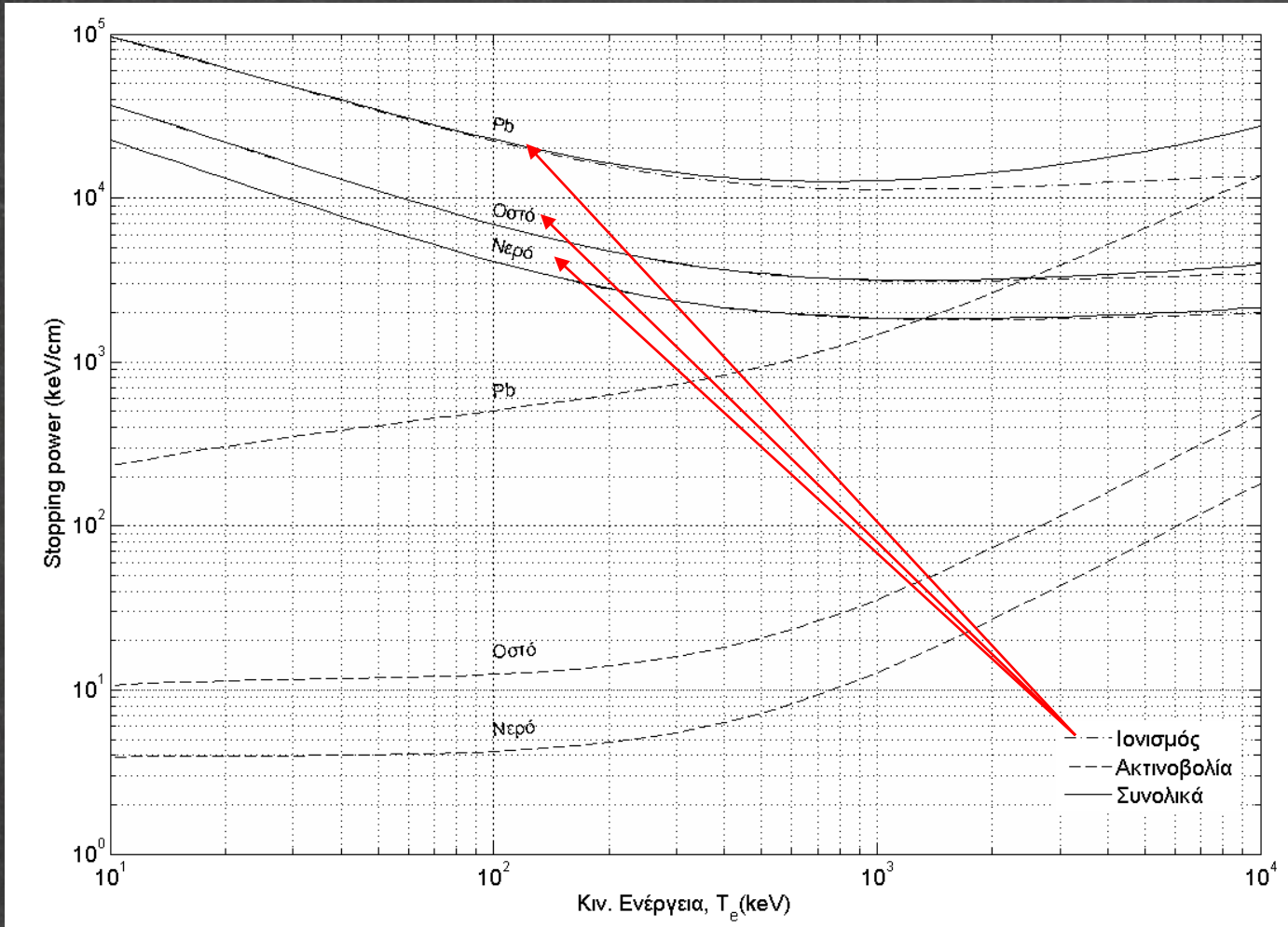
# Απώλεια ενέργειας e- λόγω διεγέρσεων & ιονισμών

$$\frac{dE}{dx} = 2\pi r_0^2 \rho \frac{ZN_A}{AB} \frac{mc^2}{\beta^2} \left[ \ln \frac{E^2(E+2mc^2)}{2mc^2 I^2} - \dots \right]$$

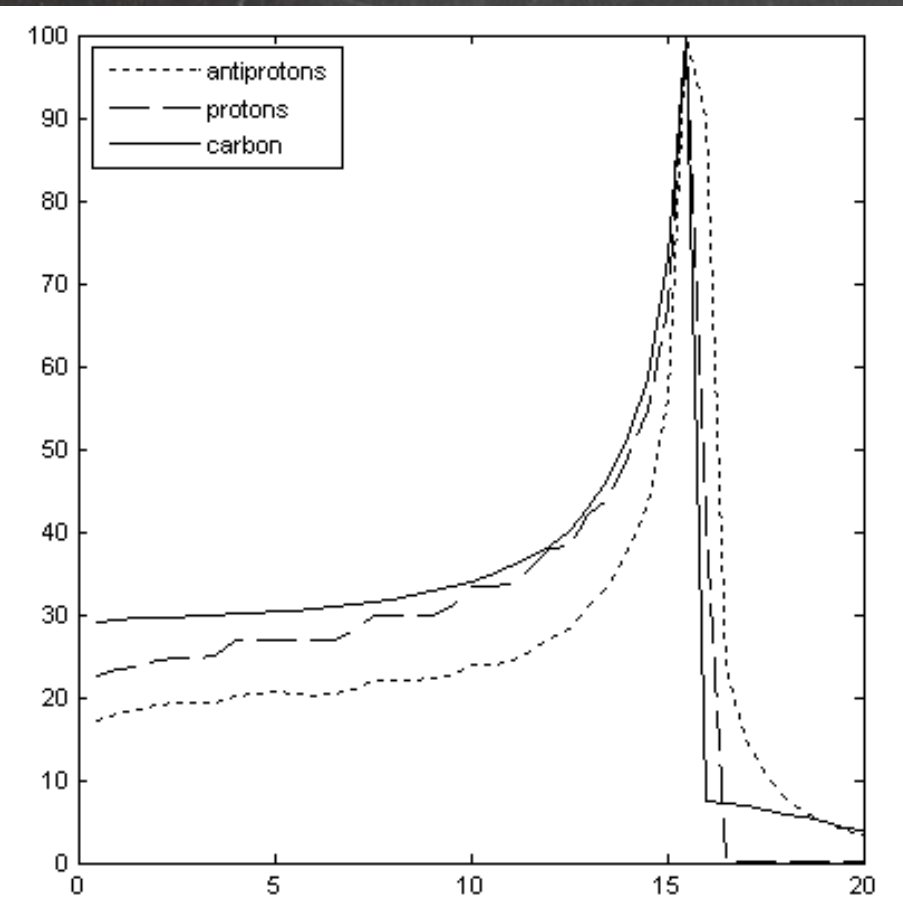
**Από ποιους παράγοντες εξαρτάται η απώλεια ενέργειας ανά μονάδα διαδρομής ή ανασχετική ισχύς ενός υλικού ???**

$$\frac{dE}{dx} \propto \rho \frac{Z N_A}{AB}, Z^2, \frac{1}{E}, \ln \frac{E}{I}$$

## Απώλεια ενέργειας ε- λόγω διεγέρσεων & ιονισμών



# Καμπύλη Bragg...

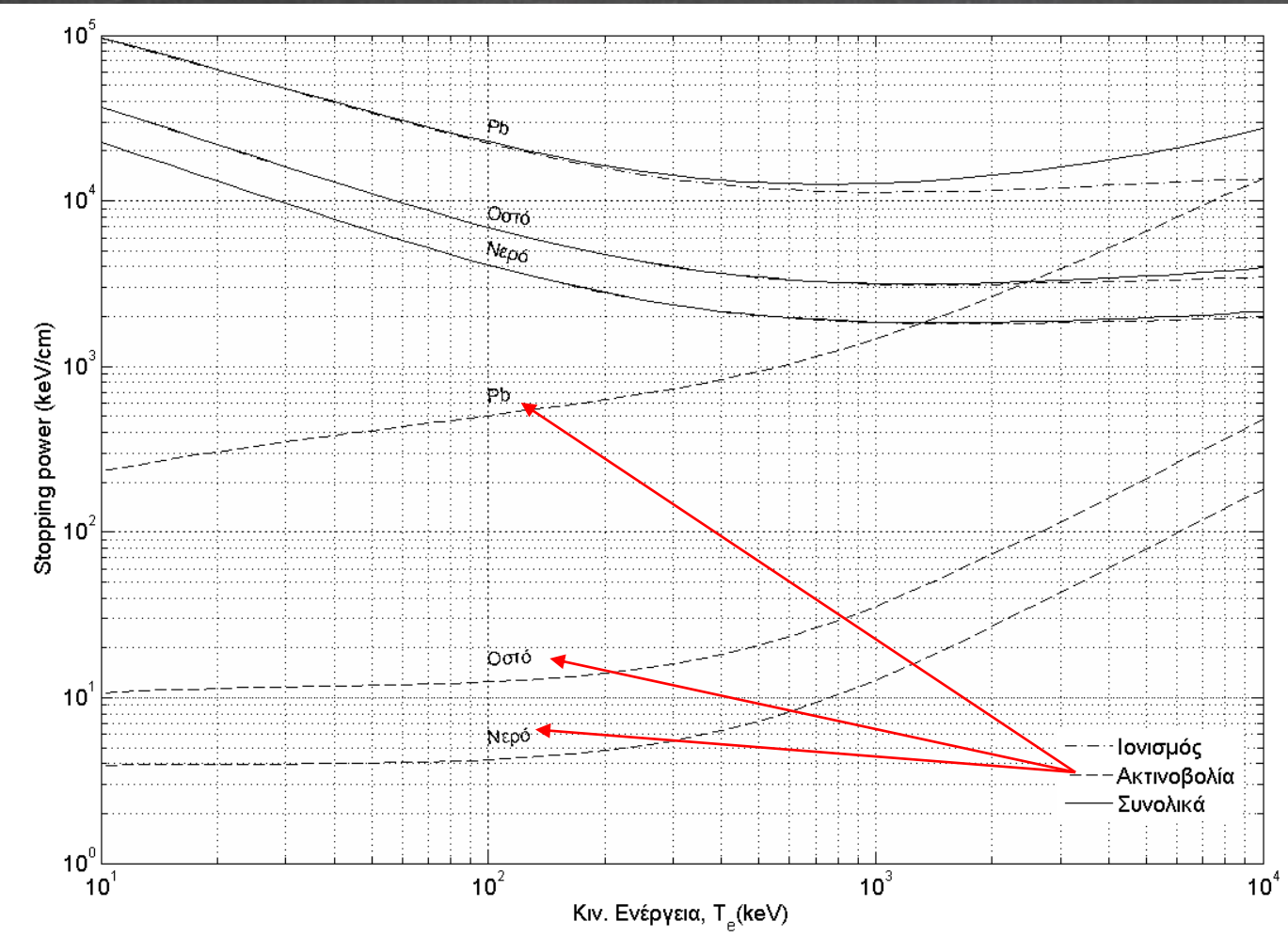


Το ποσοστό της ενέργειας  
που μεταφέρεται στο νερό  
κατά τη διέλευση διαφορετικών  
φορτισμένων σωματιδίων  
συναρτήσει του βάθους σε cm.

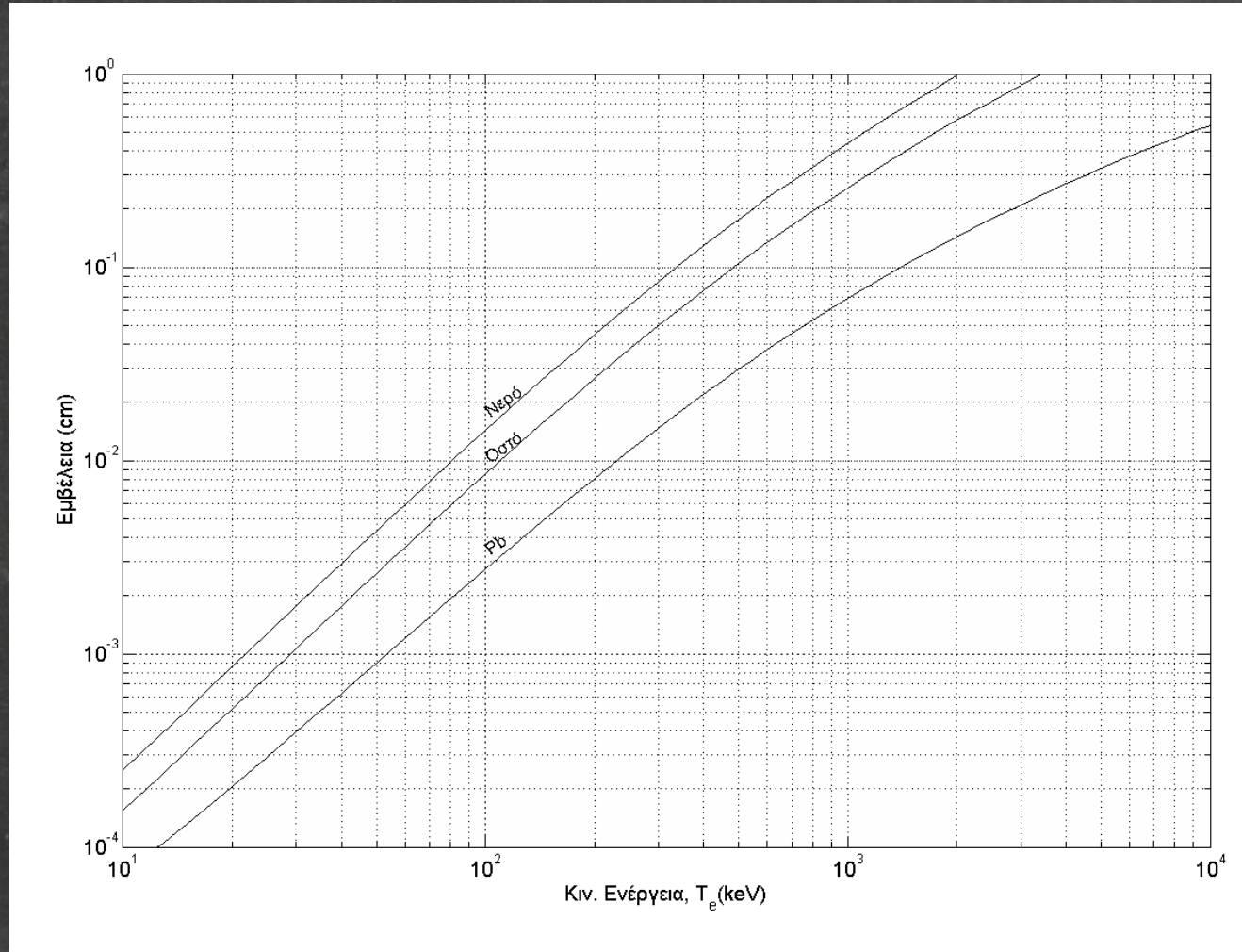
# Απώλεια ενέργειας φορτισμένων σωματιδίων λόγω εκπομπής ακτινοβολίας

Από ποιους παράγοντες εξαρτάται η απώλεια ενέργειας ανά μονάδα διαδρομής ή ανασχετική ισχύς ενός υλικού ???

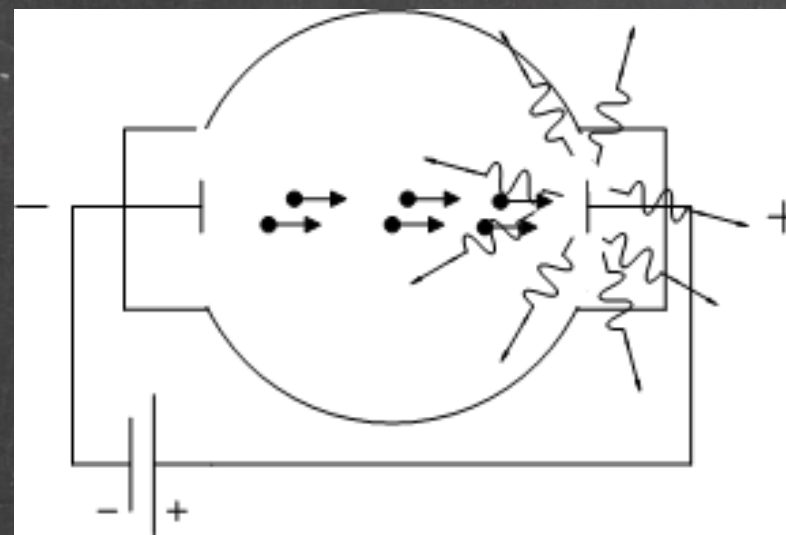
$$\frac{dE}{dx} \propto \rho \frac{N_A}{AB}, \frac{Z^2}{m^2}, E$$



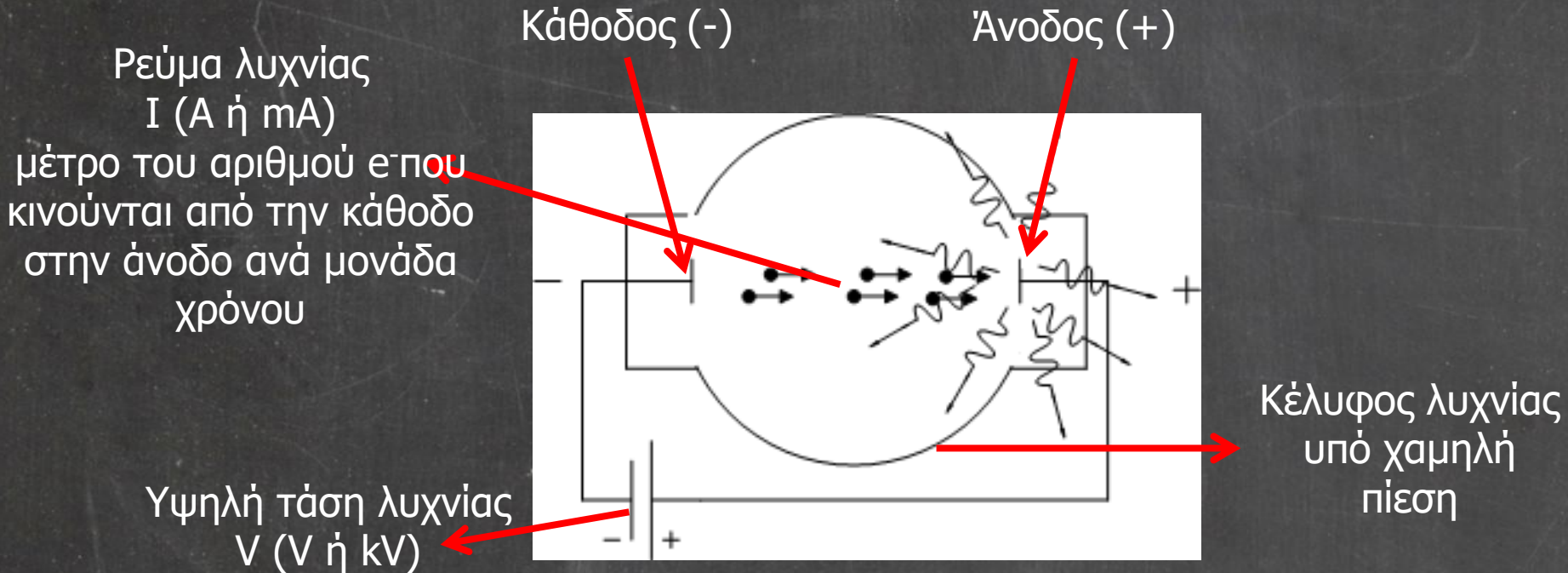
# Εμβέλεια ηλεκτρονίων σε διάφορα υλικά



# Λυχνία ακτίνων x...



# Λυχνία ακτίνων-X



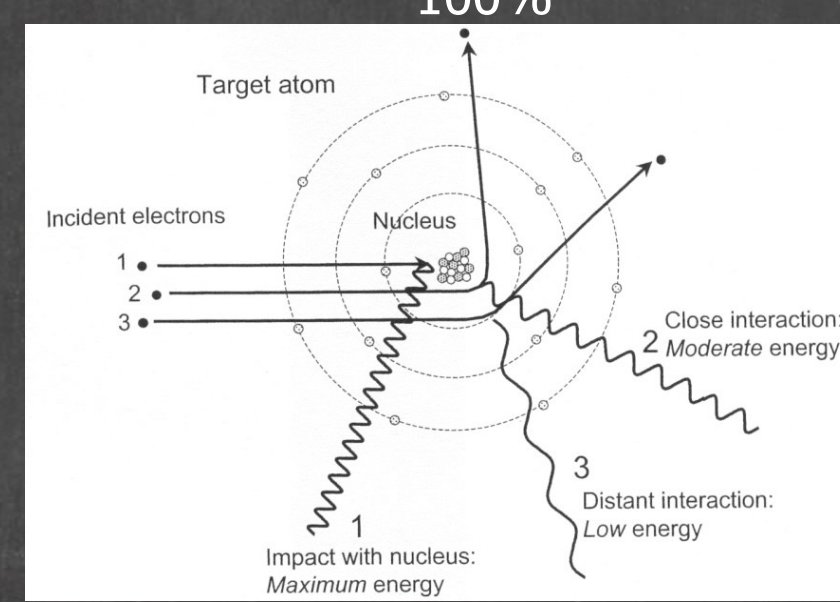
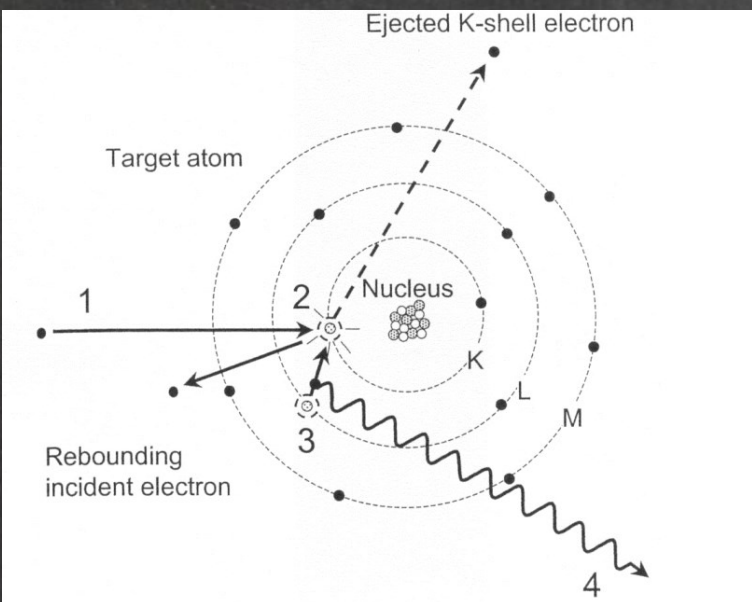
μέτρο της μέγιστης κινητικής ενέργειας που θα αποκτήσουν τα e- και επομένως της μέγιστης ενέργειας της ακτινοβολίας πέδησης

$$\begin{aligned} \text{Ισχύς ακτινοβολίας: } P_{\text{ακτ.}} &\sim 10^{-9} I V^2 Z \\ \text{Ηλεκτρική ισχύς: } P_{\eta\lambda.} &= V I \\ \text{Απόδοση: } \alpha &\sim 10^{-9} V Z \end{aligned}$$

- > 99% της ενέργειας μετατρέπεται σε θερμότητα για  $V < 200$  kV
- Άνοδος:  $Z >>$  με μεγάλη θερμική αντοχή (π.χ. Βολφράμιο,  $\gamma_4 W$ )

# Τα $e^-$ (ως φορτ. σωματίδια) θα απολέσουν ΟΛΗ την ενέργειά τους στο υλικό αλληλεπιδρώντας:

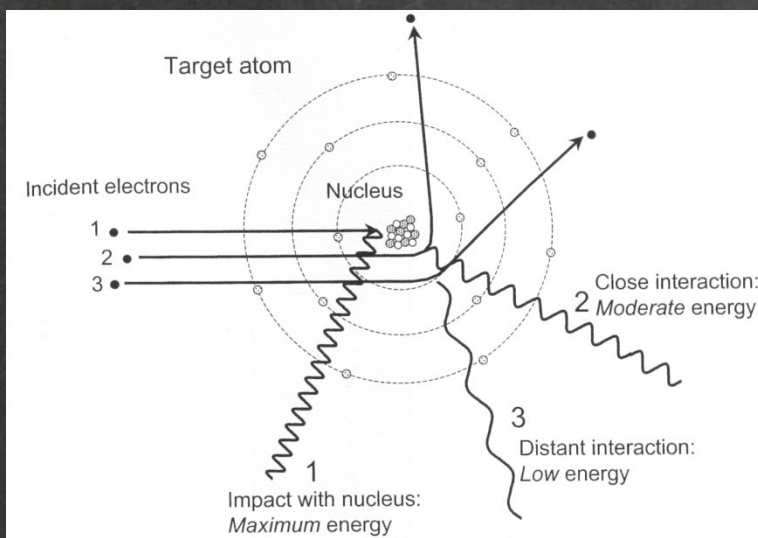
- 1) με τα **ηλεκτρόνια** του υλικού προκαλώντας διεγέρσεις και ιονισμούς και συνεπώς και εκπομπή **χαρακτηριστικής ακτινοβολίας**
  - πολλές αλλ/σεις μικρής κατά μέσο όρο απώλειας ενέργειας
- 2) με τους **πυρήνες** του υλικού εκπέμποντας Η/Μ ακτινοβολία (**ακτινοβολία πέδησης**)
  - λίγες αλληλεπιδράσεις απώλειας ενέργειας από 0 – 100%



# Λυχνία ακτίνων X: φάσμα ακτίνων X

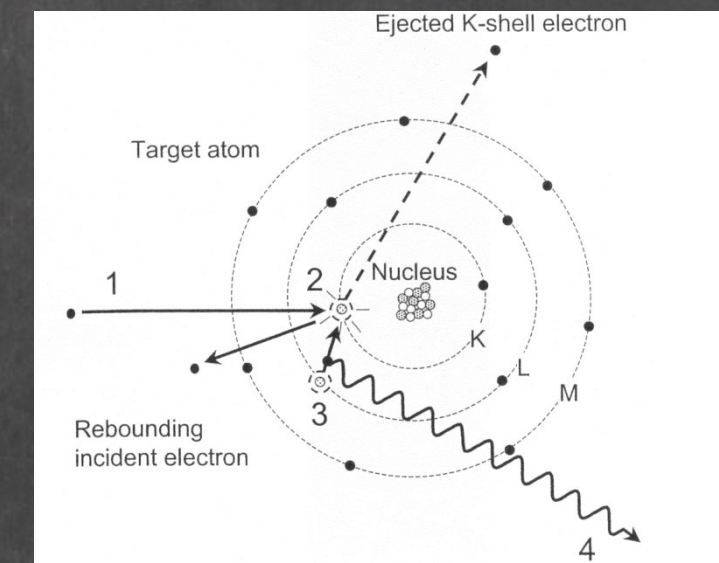
## ακτινοβολία πέδησης

$$E \text{ από } 0 \text{ έως } E_{\varphi \max} = hf_{\max} = hc/\lambda_{\min} = K_{e^-} = qV,$$



## χαρακτηριστική ακτινοβολία

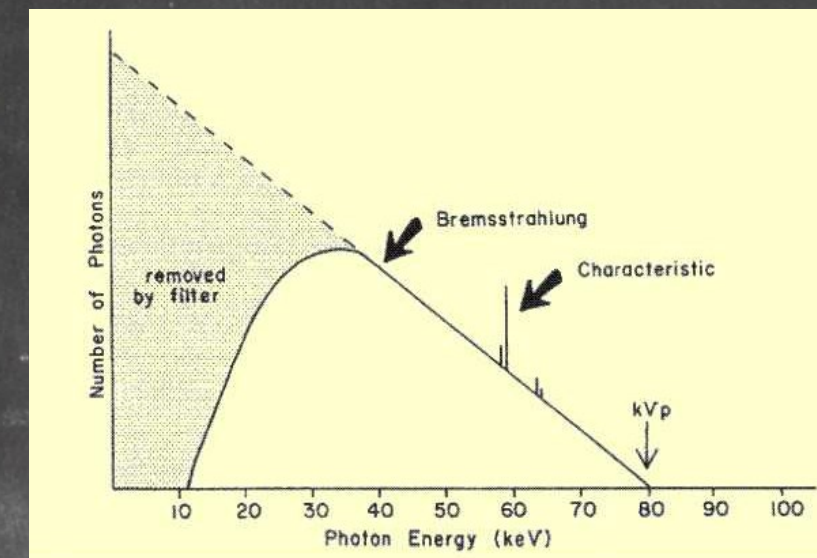
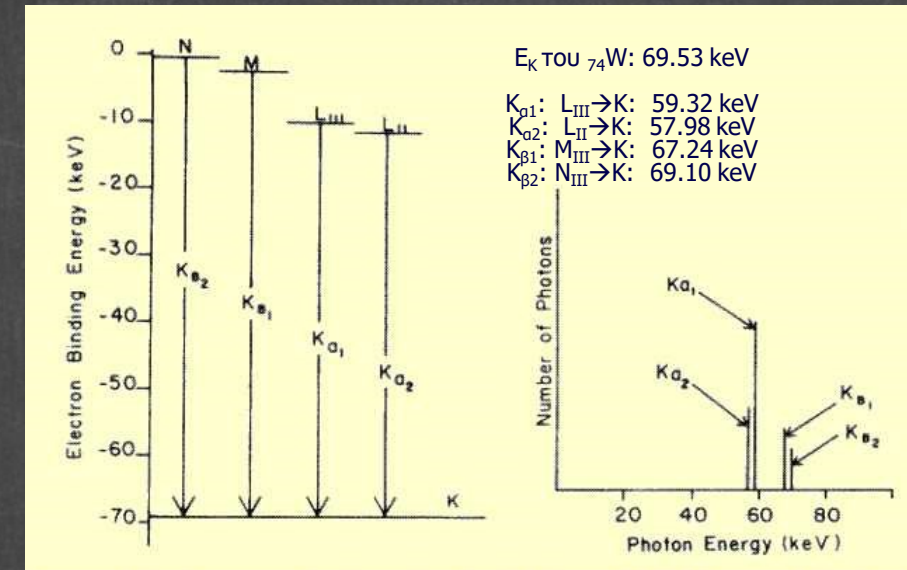
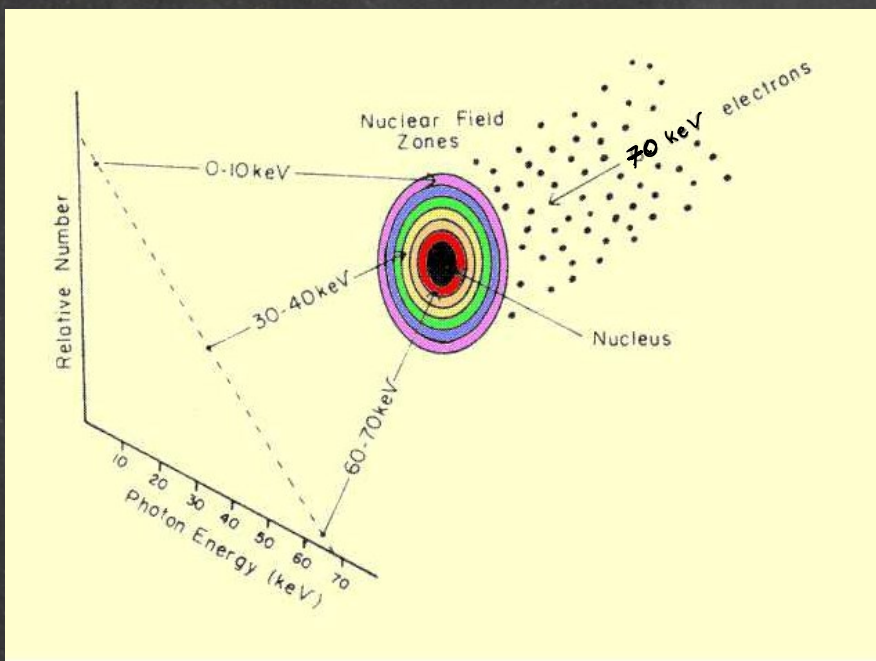
$$E = E_n - E_1 = 13.6 (Z-1)^2 (1-1/n^2)$$



# Λυχνία ακτίνων x: φάσμα ακτίνων x

Θεωρητική φασματική κατανομή ακτινοβολίας πεδήσης :  
 # φωτ. ανά μονάδα ενέργειας  $E$   
 $\sim I Z (E_{e\text{-max}} - E)$

- Στην πράξη όμως:
- χαρακτηριστική ακτινοβολία
- εκθετική εξασθένιση



# Παράγοντες που επηρεάζουν το φάσμα ακτίνων x: υψηλή τάση

Επηρεάζει:

- τη μέγιστη ενέργεια
- τη μέση ενέργεια
- την ένταση ( $I \sim kV_p^2$ )
- την εμφάνιση ή μη χαρακτηριστικής ακτινοβολίας

$E_K$  του  $^{74}W$ : 69.53 keV

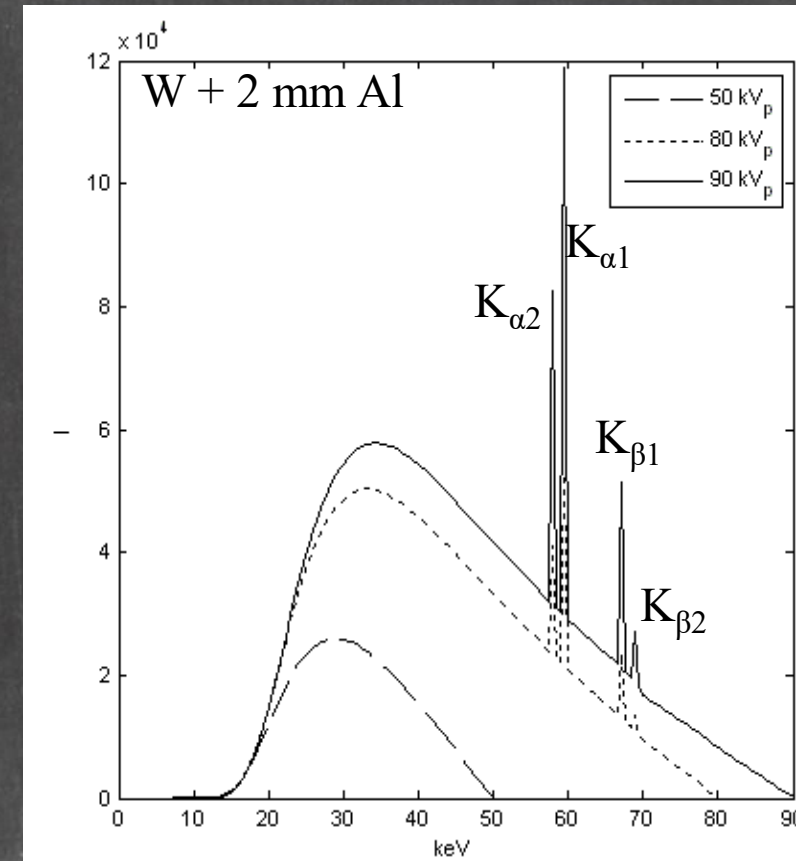
$K_{\alpha 1}$ :  $L_{III} \rightarrow K$ : 59.32 keV

$K_{\alpha 2}$ :  $L_{II} \rightarrow K$ : 57.98 keV

$K_{\beta 1}$ :  $M_{III} \rightarrow K$ : 67.24 keV

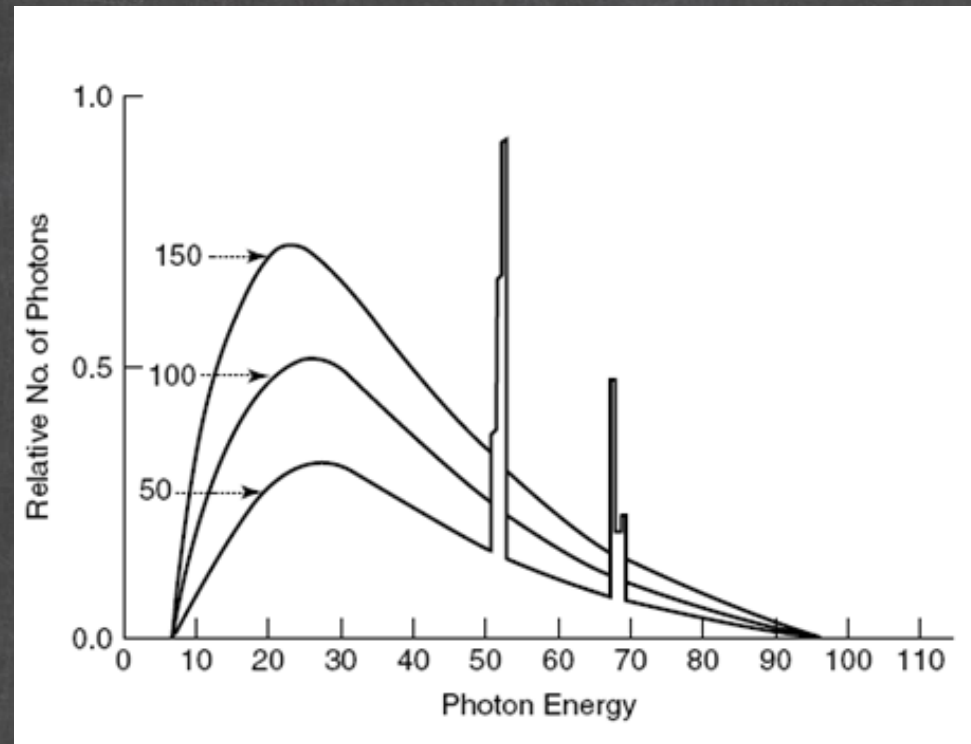
$K_{\beta 2}$ :  $N_{III} \rightarrow K$ : 69.10 keV

$E_K$  του  $^{13}Al$ : 1.56 keV



# Φάσμα ακτίνων x: ρεύμα λυχνίας / χρόνος έκθεσης

- Επηρεάζουν:
  - την ένταση ( $N \sim mAs$ ,  $I \sim mA$ )



# φάσμα ακτίνων x: υλικό ανόδου

Επηρεάζει:

- την ένταση ( $I \sim Z$ )
- την ενέργεια χαρακτηριστικής ακτινοβολίας

$E_K$  του  $_{42}\text{Mo}$ : 20.00 keV

$K\alpha_1: L_{\text{III}} \rightarrow K: 17.48 \text{ keV}$

$K\alpha_2: L_{\text{II}} \rightarrow K: 17.37 \text{ keV}$

$K\beta_1: M_{\text{III}} \rightarrow K: 19.61 \text{ keV}$

$K\beta_2: N_{\text{III}} \rightarrow K: 19.96 \text{ keV}$

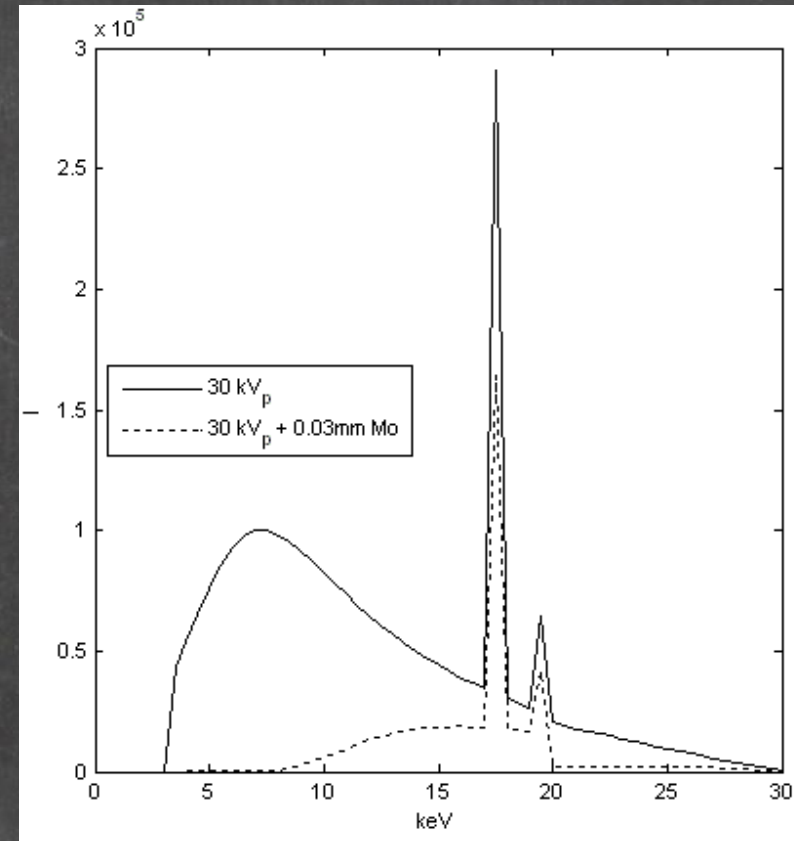
$E_K$  του  $_{74}\text{W}$ : 69.53 keV

$K_{\alpha 1}: L_{\text{III}} \rightarrow K: 59.32 \text{ keV}$

$K_{\alpha 2}: L_{\text{II}} \rightarrow K: 57.98 \text{ keV}$

$K_{\beta 1}: M_{\text{III}} \rightarrow K: 67.24 \text{ keV}$

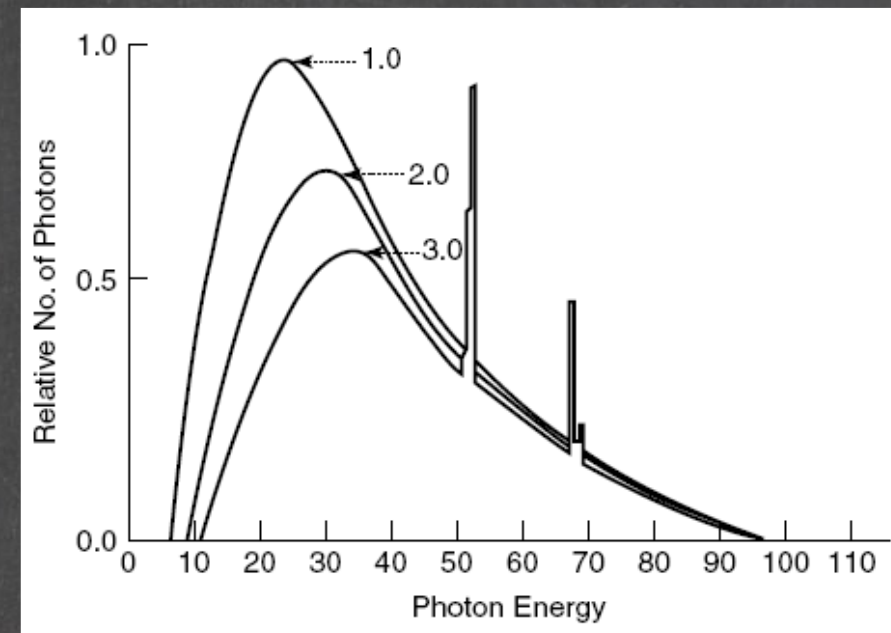
$K_{\beta 2}: N_{\text{III}} \rightarrow K: 69.10 \text{ keV}$



# φάσμα ακτίνων x: πρόσθετο φίλτρο

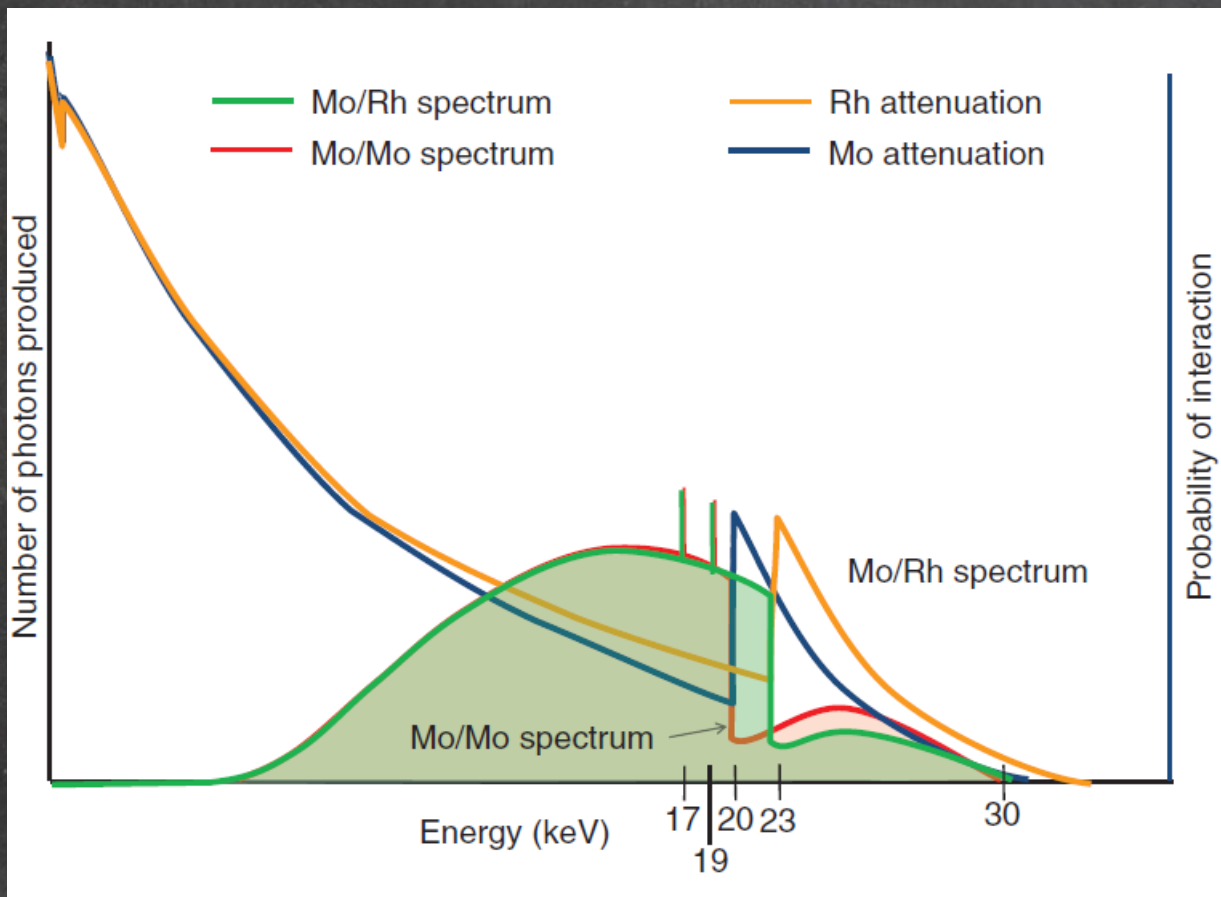
Επηρεάζει:

- τη μέση ενέργεια
- την ένταση



# Φάσμα ακτίνων χ: πρόσθετο φίλτρο

Εφαρμογή στην επιλογή διαφορετικών φίλτρων Κ-αιχμής στη μαστογραφία



# Υλικό περαιτέρω μελέτης

- § 3.3 και 4.1 Κεφαλαίου 2 Συγγράμματος
- Ερωτήσεις κατανόησης
- Μπορείτε επίσης να αναζητήσετε τους όρους “x-ray tube” και “bremsstrahlung” στο HyperPhysics (<http://hyperphysics.phy-astr.gsu.edu/hbase/index.html>) ή να δείτε την ανασκόπηση: Rolf Behling, X-ray sources: 125 years of developments of this intriguing technology, *Physica Medica*, 79, 2020, <https://doi.org/10.1016/j.ejmp.2020.07.021.125>.

